

# یک روش جدید در پایش کیفیت برای بررسی فرمولبندی آمیزه رویه تایر رادیالسواری با به کارگیری سرعت انتشار موج فرآآوایی

ابوالفضل فورگی نژاد<sup>\*</sup>، مرتضی طاهری

گروه مهندسی مکانیک، دانشگاه صنعتی بیرجند

## چکیده

یکی از روش‌هایی که برای پایش کیفیت در خطوط تولید استفاده می‌شود انطباق طراز (الگویی) می‌باشد. در این پژوهش، از طراز انتشار موج فرآآوایی در آمیزه‌های که جزء روش‌های غیر-مخرب محسوب می‌شود، استفاده شد. آزمایش‌های غیر-مخرب علاوه بر شناسایی عیوب، در پژوهش‌های بسیاری برای مطالعه ویژگی‌های مختلف مواد از قبیل خواص مکانیکی و ساختاری، مورد استفاده قرار گرفته‌اند. مزیت اصلی آزمایش‌های غیر-مخرب، شناسایی عیوب و بررسی خواص مواد بدون ایجاد تغییر در قطعه مورد آزمایش، می‌باشد. در پژوهش حاضر، از این روش برای بررسی فرمولبندی آمیزه رویه تایر رادیالسواری استفاده گردید. به منظور بررسی فرمولبندی آمیزه رویه تایر رادیالسواری ابتدا ۱۴ نمونه با فرمولبندی‌های متفاوت تهیه گردید و برای هر کدام از نمونه‌ها سرعت انتشار امواج طولی صدا اندازه‌گیری گردید. به منظور اعتبارسنجی نمونه دیگری با فرمولبندی جدید ساخته شد و سرعت انتشار موج طولی در آن اندازه‌گیری گردید. نتایج بدست آمده از نمونه اعتبارسنجی نشان دادند که روش ارائه شده می‌تواند با دقت سرعت انتشار موج طولی در آمیزه رویه تایر رادیالسواری را پیش‌بینی نماید، لذا، از این روش می‌توان در بخش کنترل کیفیت خطوط تولید، برای بررسی اعتبارسنجی فرمولبندی آمیزه رویه تایر رادیالسواری در خط تولید استفاده نمود.

**کلیدواژه‌ها:** آزمون غیر-مخرب، فرآآوایی، فرمولبند لاستیک.

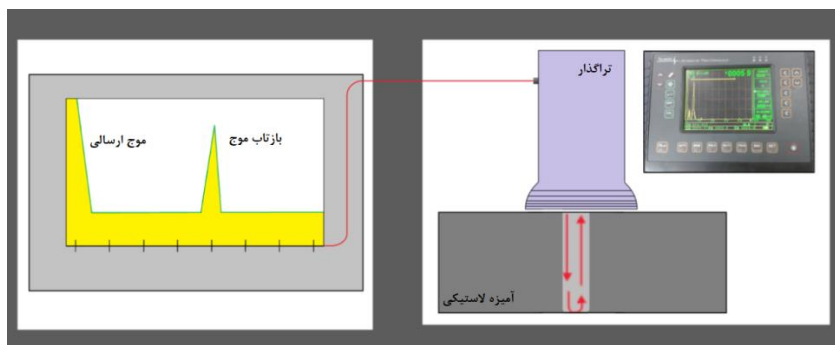
هم‌چنین برای تعیین ریزساختار، خواص مکانیکی بافت و سوابق حرارتی مواد استفاده می‌شود. در سال‌های اخیر از امواج فرآآوایی و اندازه‌گیری میرایی آن‌ها برای ارزیابی کمی میکروساختارها و خواص مکانیکی مواد استفاده می‌شود [۱]. بررسی کیفیت و تعیین خواص فیزیکی و مکانیکی مواد با به کارگیری محاسبه تغییرات سرعت امواج فرآآوایی، در گستره وسیعی از مواد و کاربردها استفاده شده است.

تعیین خواص مواد بخش مهمی از علم مهندسی به شمار می‌رود [۲]. اطلاعات دریافت شده از امواج فرآآوایی مانند میزان میرایی، شکل و زمان امواج در صورت تفسیر صحیح، می‌تواند خواص بسیاری از ماده را آشکار سازد. همان‌طور که در شکل ۱ نشان داده شده است امواج فرآآوایی و بازتاب آن‌ها بر روی نمایش‌گر نمایان می‌شوند که با تفسیر این علائم می‌توان به داده‌های مورد نیاز دست یافت.

## ۱. مقدمه

با رشد روزافون صنایع، کیفیت به یک عامل اصلی جهت دستیابی به جایگاه رقابتی بالاتر تبدیل شده است. فرآیندهای تولید به نحوی طراحی می‌گردد که کلیه مراحل تولید تحت پایش (کنترل) قرار گرفته و از تولید محصولات معیوب یا به دور از خواص مطلوب جلوگیری شود. روش‌های متعددی برای اندازه‌گیری خواص محصولات و بررسی کیفیت آن‌ها وجود دارند. در این روش‌ها، علاوه بر اندازه‌گیری‌های ابعادی و بررسی شکل ظاهری محصولات، خواص فیزیکی و مکانیکی محصول نیز به منظور برخورداری از کیفیت لازم مورد آزمایش قرار می‌گیرد. یکی از روش‌های متدائل که در تعیین خواص مواد نیز کاربرد دارد، آزمون فرآآوایی می‌باشد. آزمون غیر-مخرب فرآآوایی یک ابزار حساس است که نه تنها برای تشخیص عیوب و ارزیابی قطعات و سازه‌های صنعتی بلکه

\* نویسنده پاسخگو: foorginejad@birjandut.ac.ir



شکل ۱ طرح واره آزمون فرآوایی.

ترکیب به دست آمده، از اندازه‌گیری سرعت انتشار امواج فرآوایی استفاده کرده و نتایج به دست آمده را با نتایج روش‌های تحلیلی مقایسه کردند و نتیجه گرفتند که با اندازه‌گیری سرعت انتشار امواج فرآوایی می‌توان مدول الاستیسیته را تخمین زد [۷]. عفیفی و همکاران به بررسی سرعت انتشار امواج فرآوایی در آمیزه لاستیکی کائوچوی طبیعی اپوکسی<sup>۱</sup> با درصد وزنی ۰، ۲۵، ۵۰، ۷۵ و ۱۰۰ درصد از کائوچوی اتیلن پروپیلن و خواص مکانیکی آمیزه لاستیکی همچون مدول طولی، مدول برشی، مدول یانگ، چگالی و نسبت پواسون پرداختند. آن‌ها نشان دادند که سرعت امواج فرآوایی وقتی درصد وزنی کائوچوی اتیلن پروپیلن تا ۷۵ درصد، افزایش می‌یابد، زیاد می‌شود ولی از ۷۵ درصد تا ۱۰۰ درصد کم می‌شود. که این وقوع تعامل بین مولکولی قوی‌تری در اجزای آمیزه لاستیکی کائوچوی طبیعی اپوکسی تا ۷۵ درصد وزنی کائوچوی اتیلن پروپیلن را نشان می‌دهد و این که خواص مکانیکی مناسب در محدوده ۰ درصد تا ۷۵ درصد از کائوچوی اتیلن پروپیلن قرار دارد [۸].

بررسی و آزمایش قطعات صنعتی به وسیله آزمون‌های غیر-مخرب<sup>۲</sup> یکی از مراحل مهم صنایع روز دنیا است، زیرا پیچیدگی‌های ساخت و مخارج سنگین تولید قطعات صنعتی ایجاب می‌کنند که به نحوی در مورد اطمینان و کیفیت قطعه ساخته شده آزمون‌هایی به عمل آید. بررسی فرمول بندی<sup>۳</sup> محصولات تولید شده و خواص فیزیکی و مکانیکی آن یکی از چالش‌های خطوط تولید محسوب می‌گردد.

تاكثون پژوهش‌های بسیاری برای تعیین خواص مکانیکی و فیزیکی مواد با استفاده از بررسی تغییرات سرعت امواج فرآوایی انجام گردیده‌اند. آزمون فرآوایی جهت بررسی خواص مواد مختلف مانند فلزات، پلاستیک و یا حتی چوب و برای تعیین ضخامت قطعات و نیز تشخیص ویژگی ماده براساس اندازه‌گیری میزان سرعت و میرایی امواج و همچنین برای پیدا نمودن عیوب سطحی، زیرسطحی و داخلی به کار می‌رود [۳]. همچنین از این روش برای تعیین خواص مکانیکی و فیزیکی آلیاژها استفاده می‌شود. آکسوسی با اندازه‌گیری سرعت انتشار امواج فرآوایی طولی و عرضی، برخی خواص مواد نرم و ویسکوالاستیک را ارزیابی کرد. وی با به کارگیری بازه وسیعی از بسامد، ضربه میرایی در مواد نرم را اندازه‌گیری کرد [۲]. هارتsson و هیوز ضمن بررسی خواص مکانیکی دینامیکی و رفتار سرعت آوایی آمیزه‌های پلی‌استایرن به این نتیجه رسیدند که سازگاری آمیزه‌های بسپاری را می‌توان با اندازه‌گیری سرعت انتشار امواج فرآوایی تعیین نمود [۴]. در پژوهش انجام شده توسط الحادک، همگنی صفحات لاستیکی با استفاده از امواج فرآوایی مورد ارزیابی قرار گرفت. وی با استفاده از روش تپ اکو، ورق‌های لاستیکی با درصد تغییرات  $\pm 25$  درصد سرعت امواج طولی را همگن به حساب آورد [۵]. حجازی و همکاران با استفاده از امواج فرآوایی، داده‌های مدول الاستیسیته را برای لاستیک‌های پلی‌استایرن بوتا دین با دانستن جرم حجمی به دست آورده‌اند. آن‌ها نشان دادند، مدول الاستیسیته با افزودن پرکننده‌ای مانند الیاف شیشه‌ای، افزایش می‌یابد [۶]. حجب و همکاران با افزودن ذرات لاستیک خواص بتن را بهبود دادند. آن‌ها برای به دست آوردن مدول الاستیسیته

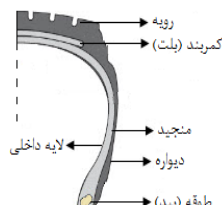
<sup>1</sup> Epoxidized natural rubber- ethylene propylene diene monomer

<sup>2</sup> Non- Destructive

<sup>3</sup> Formulation

لاستیک بوتادین بی آر<sup>۴</sup> با لاستیک طبیعی یا لاستیک استایرن بوتادین نیز در آج تایرها مورد استفاده قرار می‌گیرند. رویه یا آج باید از حداکثر کارآیی در پیش بردن خودرو برخوردار باشد و فرمان‌گیری و تامین اتکای مناسب بر سطح جاده از دیگر وظایف آن است. از آن جایی که آج لاستیک با سطح جاده در تماس است، خواص اصطکاکی لاستیک در شرایط مختلف مانند تماس با سطوح خشک، مرطوب و یخی یا برفی از درجه اهمیت بالایی برخوردار می‌باشد. به همین دلیل تایرهای زمستانی و تایرهای تابستانی برای استفاده در شرایط متفاوت وجود دارند. لاستیک‌های استایرن بوتادین برای تایرهای تابستانی و مخلوط لاستیک طبیعی و لاستیک بوتادین برای تایرهای زمستانی استفاده می‌شوند. با وجود این که حداقل مقاومت تایر در برابر چرخش مطلوب است، برای ترمز کردن و شتاب گرفتن ضرایب اصطکاک بالایی نیاز می‌باشد. اخیراً از لاستیک‌های استایرن بوتادین با پرکننده سیلیکا در آج تایرهای، به منظور کاهش مقاومت در برابر چرخش و افزایش کارآیی ترمز در سطوح خیس استفاده می‌شود. در ماشین‌آلات سنگین از لاستیک طبیعی در آج تایرهای استفاده می‌شود تا کشش پایداری حتی در شرایط سخت ایجاد نمایند. در حین چرخش تایر لغزش‌های کمی در سطح تماس اتفاق می‌افتد. مقدار این لغزش‌ها حدوداً برابر ۱/۱۰۰۰۰ فاصله طی شده توسط تایر است [۱۰]. لغزش‌های به وجود آمده یکی از عوامل تاثیرگذار بر روی سایش لاستیک است. سایش سطوح در تماس با حرکت نسبی مانند آج تایرهای به شکل گستردگی توسط محققین علم تربیلولوژی مورد مطالعه قرار گرفته است. یکی از مواردی که با طول عمر لاستیک‌ها رابطه مستقیم داشته و از بیشترین تاثیر در طول عمر آن‌ها برخوردار است، سایش می‌باشد. از طرف دیگر پیش‌بینی سایش لاستیک‌ها به دلیل تاثیرگذاری عوامل مختلف در آن، پیچیده است [۱۱]. کیفیت لاستیک ارتباط مستقیم با فرمول بندی اجزاء مختلف آن دارد، لذا حفظ فرمول بندی تعریف شده برای هر قسمت یکی از ارکان مهم پایش (کنترل) کیفیت لاستیک می‌باشد که البته با توجه به دلایلی که ذکر

پژوهش‌های بسیاری برای استفاده از عناصر مختلف مانند سیلیکا و دوده<sup>۱</sup> به عنوان پرکننده در آمیزه‌های لاستیکی تایر انجام شده‌اند که مقدار عناصر بر روی کیفیت نهایی لاستیک تولید شده تاثیر مستقیم دارد به عنوان مثال استفاده از سیلیکای رسوبی منجر به کاهش اصطکاک و پدیده گرمایشی و افزایش مقاومت در برابر خستگی در آمیزه‌ها است [۹]. خواص مورد انتظار از لاستیک تولید شده زمانی تامین می‌گردد که لاستیک با ترکیب عناصر مورد نظر، تولید شود و تغییر در درصد عناصر به کار رفته در لاستیک، خواص را تحت تاثیر قرار می‌دهد. در این پژوهش به منظور ارزیابی فرمول بندی رویه تایر رادیال سواری از روش انطباق الگو استفاده شد. بدین منظور سرعت انتشار امواج فرآوایی طولی در رویه تایر رادیال سواری اندازه‌گیری گردید. هم‌چنین فرض گردید که در صورت عدم تغییر عناصر تشکیل‌دهنده، سرعت انتشار امواج فرآوایی تغییری نخواهد نمود. به عبارت دیگر در صورت وجود تغییر در سرعت انتشار امواج می‌توان به تغییر در ترکیب عناصر رویه تایر رادیال سواری پی‌برد. روش پیشنهادی قادر به تفکیک عناصر نبوده و فقط در صورت تغییر در سرعت، وجود تغییرات در فرمول بندی را نشان می‌دهد که در پایش (کنترل) کیفیت رویه تایر رادیال سواری تولید شده، کاربردی محسوب می‌شود.



شکل ۲ ساختار تایر رادیال.

## ۲. لاستیک

امروزه تایرهای رادیال به شکل گستردگی در اتومبیل‌ها مورد استفاده قرار می‌گیرند (شکل ۲). رویه یا آج تایرهای عموماً از لاستیک طبیعی إن آر<sup>۲</sup> یا لاستیک استایرن بوتادین إس بی آر<sup>۳</sup> ساخته می‌شوند. مخلوط‌هایی از

<sup>1</sup> N339

<sup>2</sup> NR

<sup>3</sup> SBR

جدول ۱ فرمول‌بندی آمیزه‌ها.

شماره نمونه	شماره	گوگرد معمولی (گرم)	دوده (گرم)	سیلیکا با قابلیت پخش بالا (گرم)	سیلان (گرم)	شتاب دهنده سولفنامیدی (گرم)	کائوچوی بوتادین سیس (گرم)	اسید روی (گرم)	استئاریک (گرم)	استشارات روی (گرم)	کائوچوی استایرن بوتادین محلولی (گرم)
X1	۵۷	۳۸۶,۸۶	۴,۹۵	۰	۳۰,۱۷	۴,۸۲	۲۳۲,۱۱	۱۹,۴۱	۶,۴۵	۱۳,۵۷	۷۷۳,۷۱
X2	۵۷	۳۸۶,۸۶	۴,۹۵	۰	۳۰,۱۷	۴,۸۲	۱۸,۹۲	۱۹,۴۱	۶,۴۵	۱۳,۵۷	۵۴۱,۶
X3	۵,۵۶	۳۷۷,۱۳	۴,۸۲	۰	۳۰,۱۷	۴,۸۲	۲۲۶,۲۸	۱۸,۹۲	۶,۲۹	۱۳,۲۳	۷۵۴,۲۶
X4	۵,۵۶	۳۷۷,۱۳	۴,۸۲	۰	۳۰,۱۷	۴,۸۲	۲۱,۸	۲۶۰,۶۹	۵,۵۴	۱۵,۲۴	۶۰۸,۲۷
X5	۶۳۹	۲۶۰,۶۹	۴,۸۲	۰	۴۶,۱۳	۴,۲۲	۱۹,۷۷	۱۶,۵۳	۵,۴۹	۱۱,۵۶	۴۶۱,۲۹
X6	۴,۸۷	۲۶۶,۴۸	۴,۸۲	۰	۲۶,۰۷	۵,۶۶	۲۲۶,۴۸	۲۲,۲۸	۷,۴	۱۵,۵۸	۶۲۱,۷۸
X7	۶,۵۳	۴۷۹,۷۴	۴,۳۹	۰	۴۶,۱۳	۴,۳۹	۲۰,۵۶	۱۷,۱۹	۵,۷۱	۱۲,۰۲	۴۷۹,۷۴
X8	۵,۰۶	۲۲۵,۱۶	۴,۳۹	۰	۲۳,۵۲	۴,۳۹	۲۰,۱,۵۷	۱۶,۸۶	۵,۶	۱۱,۷۹	۴۷۰,۳۲
X9	۷,۲۲	۲۶۰,۶۹	۶,۱۶	۰	۲۶,۰۷	۶,۱۶	۲۶۰,۶۹	۲۱,۸	۷,۲۴	۱۵,۲۴	۶۰۸,۲۷
X10	۷,۰۲	۴۶۱,۲۹	۴,۷	۰	۴۶,۱۳	۴,۷	۱۹,۷۷	۱۶,۵۳	۵,۴۹	۱۱,۵۶	۴۶۱,۲۹
X11	۵/۵۱	۴۶۱,۲۹	۴,۳۶	۰	۳۰,۱۷	۴,۳۶	۲۲۶,۲۸	۱۸,۹۲	۶,۲۹	۱۳,۲۳	۵۲۷,۹۸
X12	۷,۰۲	۴۶۱,۲۹	۶,۱۵	۰	۲۶,۰۷	۶,۱۵	۲۶۰,۶۹	۲۱,۸	۷,۲۴	۱۵,۲۴	۶۰۸,۲۷
X13	۸,۰۶	۴۶۱,۲۹	۴,۶۹	۰	۴۶,۱۳	۴,۶۹	۱۹,۷۷	۱۶,۵۳	۵,۴۹	۱۱,۵۶	۴۶۱,۲۹
X14	۶,۱۵	۴۶۱,۲۹	۴,۶۹	۰	۴۶,۱۳	۴,۶۹	۱۹,۷۷	۱۶,۵۳	۵,۴۹	۱۱,۵۶	۴۶۱,۲۹

ساخت شرکت آلفا انگلیس برای تعیین خصوصیات پخت استفاده گردید.

### ۳-۳. تهیه آمیزه‌ها

در پژوهش حاضر به منظور بررسی ارتباط بین فرمول‌بندی لاستیک و سرعت انتشار امواج فراآوایی طولی تعداد ۱۴ نمونه لاستیک با فرمول‌بندی‌های متفاوت (جدول ۱) تولید گردیده‌اند.

آمیزه‌ها در بنبوری آزمایشگاهی دو لیتری تحت شرایط یکسان تهیه شدند، دور روتور در مراحل اضافه کردن کائوچو، مواد شیمیایی و پرکننده ثابت و برابر ۲۰ دور بر دقیقه بود. برای اطمینان از انجام کامل واکنش سیلانیزاسیون دور روتور در مراحل پایانی اختلاط به صورت متغیر در نظر گرفته شد تا دمای اختلاط به مدت طولانی در محدوده ۱۳۰ تا ۱۵۰ درجه‌ی سلیسوس حفظ شود. زمان کل اختلاط برای آمیزه‌ها ۶ دقیقه تنظیم گردید.

### ۴-۳. آزمون فراآوایی

به منظور بررسی ارتباط فرمول‌بندی لاستیک با سرعت انتشار امواج فراآوایی، سرعت انتشار امواج فراآوایی طولی برای هر نمونه اندازه‌گیری شد. بدین منظور از دستگاه

گردید این مهم در مورد رویه یا آج لاستیک از اهمیت بیشتری برخوردار است. لذا در این پژوهش بررسی کیفیت آمیزه رویه تایر رادیال‌سواری با استفاده از امواج فراآوایی مورد بررسی قرار گرفت.

## ۳. آزمایش‌های تجربی

### ۳-۱. مواد

برای ساخت آمیزه‌ها از کائوچوی استایرن بوتادین محلولی ۱۵۰۰، کائوچوی بوتادین سیس<sup>۱</sup>، دوده، سیلانیکای با قابلیت پخش بالا<sup>۲</sup>، سیلان<sup>۳</sup>، گوگرد، شتاب دهنده سولفنامیدی، اکسید روی، اسید استئاریک و استئارات روی استفاده شده است.

### ۳-۲. دستگاه‌ها

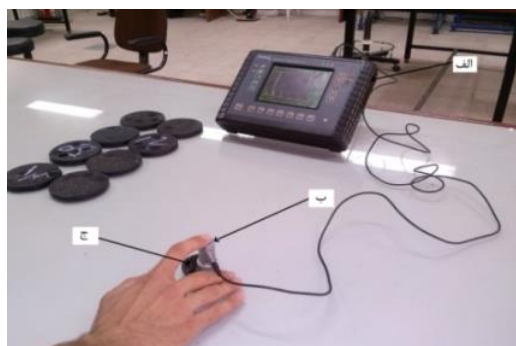
در این پژوهش از تجهیزات شامل بنبوری آزمایشگاهی دو لیتری ساخت پومینی، آسیاب دو غلتکی الگوی ۳۰۵×۱۵۲ آر-ایی إم‌سی‌سی‌آی‌ان<sup>۴</sup> ساخت برگامو ایتالیا برای اختلاط مواد، پرس پخت آزمایشگاهی ۱۰۰ تن ساخت ژاپن برای پخت آمیزه‌های لاستیکی و رئومتر

<sup>1</sup> BR cis

<sup>2</sup> HDS; High Dispersible Silica

<sup>3</sup> Silane

<sup>4</sup> R-E MCCIN



شکل ۳ سامانه اندازه‌گیری سرعت امواج فراآوایی: (الف) دستگاه فراآوایی، (ب) تراگذار و (ج) نمونه آمیزه لاستیکی.

اندازه‌گیری‌ها در بسامد ۴ مگاهرتز و دمای اتاق انجام شده و در جدول ۳ سرعت طولی امواج درون آمیزه‌ها گزارش شده است.

جدول ۳ سرعت انتشار امواج فراآوایی در آمیزه‌های لاستیکی و مقادیر بهنجار آن.

سرعت انتشار	مقدار بهنجار شده	سرعت انتشار امواج فراآوایی (متر/ثانیه)	شماره نمونه
	۰,۹۸۱۴	۱۷۱۷	X1
	۰,۸۷۸۸	۱۵۳۷,۵	X2
	۱,۰۰۰۰	۱۷۴۹,۵	X3
	۰,۸۵۴۰	۱۴۹۴	X4
	۰,۸۴۰۰	۱۴۶۹,۶۶۷	X5
	۰,۸۷۸۴	۱۵۳۶,۷۵	X6
	۰,۸۵۸۱	۱۵۰۱,۱۶۶۷	X7
	۰,۸۹۹۵	۱۵۷۳,۷۵	X8
	۰,۸۹۱۶	۱۵۵۹,۸۸۳	X9
	۰,۸۴۷۸	۱۴۸۳,۲	X10
	۰,۹۱۴۰	۱۵۹۹	X11
	۰,۸۳۸۵	۱۴۶۷	X12
	۰,۸۳۸۶	۱۴۶۷,۱۲۵	X13
	۰,۹۲۵۳	۱۶۱۸,۶۶۷	X14

برای الگوی رگرسیونی، از نرم‌افزار آماری اس‌پی‌اس‌اس<sup>۲</sup> استفاده شده است. به منظور رفع اختلاف ابعادی دو سوی معادله، داده‌ها قبل از استفاده توسط رابطه ۱ بهنجار (نرمال‌سازی) شده و در جدول ۴ ارائه گردیده است تا هم داده‌ها در بازه معینی قرار گیرند و هم رابطه به دست آمده بی بعد باشد.

آزمون فراآوایی تروسونیک<sup>۱</sup> استفاده گردید که مشخصات دستگاه، نمونه‌ها و کاوه در جدول ۲ نشان داده شده‌اند. امواج فراآوایی که از میان ماده انتشار می‌یابند، همواره بخشی از انرژی خود را به سبب پراکندگی در فصل مشترک‌های میکروسکوپی و همچنین اثر اصطکاک‌های درونی در ماده از دست می‌دهند. اثر تنکش (تضعیف) در واقع افت انرژی امواج در حین حرکت موج از میان محیط می‌باشد. در این مطالعه تجربی با توجه به اثر تنکش (تضعیف) شدیدتر در لاستیک‌ها [۳]، برای تعیین سرعت امواج فراآوایی از کاوه‌ای با بسامد ۴ مگاهرتز استفاده گردید.

جدول ۲ مشخصات دستگاه، کاوه و نمونه‌ها.

تروسونیک	شرکت سازنده
۱۲	قطر کاوه (میلی‌متر)
۴	بسامد کاوه (مگاهرتز)
۴۱	قطر نمونه (میلی‌متر)
۶	ضخامت نمونه (میلی‌متر)

سرعت انتشار امواج طولی فراآوایی برای نمونه‌های مختلف، با اندازه‌گیری زمان سپری شده بین ارسال امواج و بازتاب آن و سپس ظاهر شدن بر روی صفحه نمایش گر توسط مدار برقی استاندارد اندازه‌گیری شده است که سامانه اندازه‌گیری امواج فراآوایی در شکل ۳ نشان داده شده است و دقت اندازه‌گیری سرعت ۱ متر بر ثانیه می‌باشد. با توجه به این که زمان محاسبه شده مابین ارسال و دریافت موج شامل زمان‌های عبور موج از داخل کاوه و جفت‌کننده در هر یک از مراحل رفت و برگشت موج می‌باشد زمان محاسبه شده دارای مقداری خطأ بوده که در نتیجه باعث به وجود آمدن خطأ در محاسبه سرعت انتشار امواج می‌گردد.

در ابتدا با استفاده از بلوك استاندارد، زمان عبور امواج فراآوایی طولی از میان کاوه و جفت‌کننده اندازه‌گیری و از محاسبات به کار رفته در تخمین سرعت انتشار امواج طولی حذف شد و پس از آن سرعت انتشار امواج طولی در نمونه‌ها محاسبه گردید.

<sup>۲</sup> SPSS

<sup>۱</sup> Tru-Sonic

جدول ۴ مقادیر بهنگارشده عناصر موجود در ترکیب نمونه‌ها.

شماره نمونه	گوگرد معمولی	دوده	سیلیکا با قابلیت پخش بالا	سیلان	شتاب دهنده سولفونامیدی	بوتاکسین سیس	اکسید روی	استناریک	استنارات روی	کائوچوی استایرن بوتاکسین ۱۵۰۰ محلولی
X1	۰,۷۰۷۲	۰,۸۰۶۴	۰,۰۰۰۰	۰,۰۰۰۰	۰,۸۰۳۶	۰,۰۰۰۰	۰,۸۷۱۲	۰,۸۷۱۶	۰,۸۷۱۰	۱,۰۰۰۰
X2	۰,۷۰۷۲	۰,۸۰۶۴	۰,۰۰۰۰	۰,۰۰۰۰	۰,۸۰۳۶	۰,۰۰۰۰	۰,۸۷۱۰	۰,۸۷۱۶	۰,۸۷۱۰	۰,۷۰۷۰
X3	۰,۶۸۹۸	۰,۰۰۰۰	۰,۰۰۰۰	۰,۰۰۰۰	۰,۷۸۲۵	۰,۶۵۴۰	۰,۸۴۹۲	۰,۸۴۹۰	۰,۸۴۹۲	۰,۹۷۴۹
X4	۰,۶۸۹۸	۰,۰۰۰۰	۰,۰۰۰۰	۰,۰۰۰۰	۰,۷۸۲۵	۰,۶۵۴۰	۰,۸۴۹۱	۰,۸۴۹۲	۰,۸۴۹۰	۰,۶۸۲۴
X5	۰,۷۹۲۸	۰,۰۰۰۰	۰,۰۰۰۰	۰,۰۰۰۰	۰,۸۱۷۶	۰,۰۰۰۰	۰,۹۷۸۲	۰,۹۷۸۴	۰,۹۷۸۰	۰,۷۸۶۲
X6	۰,۶۰۴۲	۰,۰۰۰۰	۰,۰۰۰۰	۰,۰۰۰۰	۰,۶۸۵۱	۱,۰۰۰۰	۰,۷۴۱۹	۰,۷۴۱۹	۰,۷۴۲۰	۰,۵۹۶۲
X7	۰,۸۱۰۲	۰,۰۰۰۰	۰,۰۰۰۰	۰,۰۰۰۰	۰,۵۵۵۵	۰,۰۰۰۰	۱,۰۰۰۰	۱,۰۰۰۰	۱,۰۰۰۰	۰,۸۰۳۶
X8	۰,۶۲۷۸	۱,۰۰۰۰	۰,۰۰۰۰	۰,۰۰۰۰	۰,۷۱۲۷	۰,۰۰۰۰	۰,۷۷۱۵	۰,۷۷۱۶	۰,۷۷۱۵	۰,۶۲۰۱
X9	۰,۶۲۷۸	۰,۴۹۰۲	۰,۵۰۹۸	۰,۵۰۹۹	۰,۷۱۲۷	۰,۵۰۹۹	۰,۷۵۶۷	۰,۷۵۶۸	۰,۷۵۶۷	۰,۶۰۷۹
X10	۰,۸۹۵۸	۰,۰۰۰۰	۰,۰۰۰۰	۰,۰۰۰۰	۰,۵۶۵۱	۰,۰۰۰۰	۰,۹۷۸۲	۰,۹۷۸۴	۰,۹۷۸۰	۰,۷۸۶۲
X11	۰,۶۸۳۶	۰,۰۰۰۰	۰,۰۰۰۰	۰,۰۰۰۰	۰,۵۶۵۱	۱,۰۰۰۰	۰,۷۴۲۰	۰,۷۴۱۹	۰,۷۴۱۹	۰,۵۹۶۲
X12	۰,۸۷۱۰	۰,۰۰۰۰	۰,۰۰۰۰	۰,۰۰۰۰	۰,۸۱۷۶	۰,۰۰۰۰	۰,۸۴۹۲	۰,۸۴۹۰	۰,۸۴۹۲	۰,۶۸۲۴
X13	۱,۰۰۰۰	۰,۰۰۰۰	۰,۰۰۰۰	۰,۰۰۰۰	۰,۵۶۵۱	۰,۰۰۰۰	۰,۹۷۸۲	۰,۹۷۸۴	۰,۹۷۸۰	۰,۷۸۶۲
X14	۰,۷۶۳۰	۰,۰۰۰۰	۰,۰۰۰۰	۰,۰۰۰۰	۰,۷۶۱۴	۱,۰۰۰۰	۰,۷۴۲۰	۰,۷۴۱۹	۰,۷۴۱۹	۰,۵۹۶۲

ماده بستگی دارد. چهار ماده دوده، اکسید روی، اسید استناریک و کائوچوی استایرن بوتاکسین محلولی توسط الگو رگرسیون با توجه با تاثیر ناچیز آن‌ها بر روی سرعت انتشار امواج فراآوایی طولی در درون آمیزه‌ها حذف شده‌اند.

#### ۴. نتایج و بحث

امواج آوایی از نوع امواج الاستیک محسوب می‌گرددند. خواص الاستیک مواد براساس نیروهای بین انمی تمام اتم‌های آن‌ها تخمین زده می‌شود. بنابراین کوچکترین انحلال اتم‌ها یا تغییر موقعیت آن‌ها بر روی خواص الاستیکی آن‌ها اثر خواهد گذاشت و در نتیجه آن مقدار سرعت انتشار امواج آوایی تحت تاثیر قرار خواهد گرفت [۱۲]. در پژوهش حاضر به منظور بررسی فرمول بندی آمیزه‌های لاستیکی از روش غیر-مخرب فراآوایی استفاده شد. برای الگو کردن مقدار سرعت انتشار امواج فراآوایی طولی از رگرسیون چندگانه خطی استفاده شد. نتایج حاصل از آزمایش و الگوی پیشنهادی به همراه میزان خطای الگوی پیشنهادی در تخمین سرعت انتشار امواج طولی در جدول ۵ آمده است. در شکل ۴ مقادیر به دست آمده سرعت انتشار امواج فراآوایی طولی هر نمونه نشان داده شده‌اند. میانگین مقدار خطای الگوی رگرسیون

با کمک داده‌های بهنگارشده و با استفاده از ابزار موجود در نرم‌افزار برای رگرسیون خطی، الگوی رگرسیون خطی با ضریب همبستگی  $R^2$  برابر با ۰,۹۲۲ بدست آمد. بر این اساس، رابطه ۲ بهنگار شده سرعت امواج فراآوایی طولی درون آمیزه را در این فرآیند الگو می‌نماید.

$$x' = \frac{x - x_{min}}{x_{max} - x_{min}} \quad (1)$$

که در این رابطه  $x'$ ، مقدار بهنگارشده است و  $x_{min}$  مساوی صفر در نظر گرفته شده است.

$$7_c = 1,083 - 0,147A - 0,117B + 0,114C - 0,178 + 0,159E - 0,078F \quad (2)$$

که در این رابطه A، کائوچوی بوتاکسین سیس؛ B، سیلیکا با قابلیت پخش بالا؛ C، سیلان؛ D، استنارات روی؛ E، شتاب دهنده سولفونامیدی؛ F، گوگرد معمولی می‌باشند. با مقایسه ضرایب معادله ۲ با همدیگر اولویت و میزان تاثیر هر یک از عوامل مشخص می‌شوند. در این تحلیل از ۱۴ نمونه استفاده شد که سرعت انتشار امواج فراآوایی طولی به عنوان متغیر وابسته و درصد عناصر به کار رفته در فرمول بندی آمیزه‌ها به عنوان متغیرهای غیروابسته در نظر گرفته شده‌اند.

همان‌طور که در رابطه ۲ دیده می‌شود سرعت امواج طولی از بین ۱۰ ماده شیمیابی موجود در فرمول بندی به شش

<sup>۱</sup> CBS

نمونه و زمان رفت و برگشت امواج صوتی طولی است. تعییر ضخامت مایع جفت کننده هنگام اندازه‌گیری، باعث ایجاد خطای در محاسبه زمان می‌شود. برای اندازه‌گیری ضخامت نمونه‌ها از میکرومتری با دقت ۰,۰۰۵ میلی‌متر استفاده شد که خطای زمانی معادل ۳,۶۷ نانو ثانیه در محاسبات زمان ایجاد می‌نماید. دستگاه اندازه‌گیری فرآوایی مورد استفاده نیز، از قابلیت اندازه‌گیری زمان با دقت ۱۰ نانو ثانیه برخوردار است.

منابع ایجاد خطای شامل خطاهای اتفاقی و سامانه‌مند (سیستماتیک) هستند. خطای در اندازه‌گیری ضخامت و خطای دستگاه اندازه‌گیری سرعت امواج صوتی جزء خطاهای سامانه‌مند (سیستماتیک) و تعییر ضخامت مایع جفت کننده نیز، جزء خطاهای اتفاقی محسوب می‌شوند. اندازه خطای اتفاقی در اثر تعییر ضخامت مایع جفت کننده در حد ۰,۵ نانو ثانیه است [۱۳]. در بررسی منابع خطای اتفاقی، خطای ناشی از عدم اختلاط کامل در نظر گرفته نشده است که سبب ناهمسانگردی ماده می‌شود. خطای سامانه‌مند (سیستماتیک) زمان دیواره پشتی برای قطعه‌ای با ضخامت ۹ میلی‌متر، حدود ۴/۵ نانو ثانیه برآورد می‌شود [۱۳].

خطای سامانه‌مند (سیستماتیک) طبق رابطه ۳ محاسبه می‌شود.

$$E_T - E_P = E_{bw} + E_{th} + E_{me} \quad (3)$$

که در این رابطه،  $E_{bw}$ ، مقدار خطای دیواره پشتی؛  $E_{th}$ ، مقدار خطای اندازه‌گیری ضخامت؛  $E_{me}$ ، مقدار خطای دستگاه اندازه‌گیری می‌باشد.

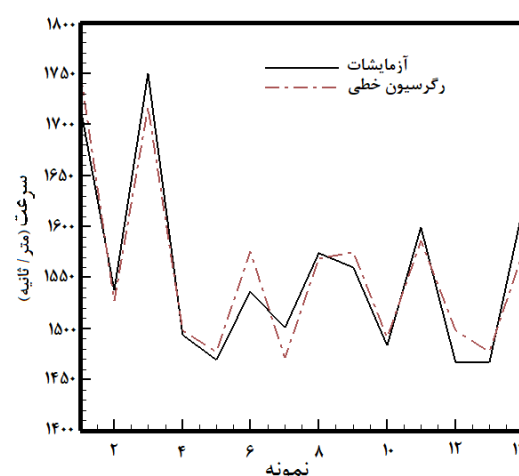
بنابراین مقدار خطای در اندازه‌گیری زمان برابر با ۱۱,۶ نانو ثانیه خواهد بود و با در نظر گرفتن ضخامت میانگین نمونه‌ها برابر ۶ میلی‌متر و سرعت انتشار امواج صوتی طولی میانگین برابر با ۱۵۵۵ متر بر ثانیه، مقدار خطای بر حسب سرعت برابر با ۲,۳۳ متر بر ثانیه خواهد بود. بنابراین مقدار خطای آزمایش برابر ۱,۴۳۳۸ درصد می‌باشد.

با توجه به مقدار خطای بدست آمده برای آزمایش بررسی مقادیر خطای الگو، این الگوی پیشنهادی در تخمین سرعت انتشار امواج فرآوایی در آمیزه رویه تایر رادیال سواری مناسب بوده است.

چندگانه خطی در پیش‌بینی مقدار سرعت انتشار امواج فرآوایی طولی در ۱۴ نمونه مورد آزمایش، برابر ۱,۲۸۴۰ درصد می‌باشد.

جدول ۵ سرعت امواج طولی به دست آمده از آزمایش‌ها و الگوی رگرسیون:

درصد خطای	سرعت امواج فرآوایی بدست آمده از الگوی رگرسیون (متر/ثانیه)	سرعت امواج فرآوایی بدست آمده از آزمایش (متر/ثانیه)	شماره نمونه
۱,۹۵۱۰	۱۷۵۰,۴۹۸	۱۷۱۷	X1
۰,۷۱۶۰	۱۵۲۶,۴۹۲	۱۵۳۷,۵	X2
۱,۸۶۴۱	۱۷۱۶,۸۸۷	۱۷۴۹,۵	X3
۰,۳۰۱۷	۱۴۹۸,۵۰۷	۱۴۹۴	X4
۰,۵۳۴۸	۱۴۷۷,۵۲۷	۱۴۶۹,۶۶۷	X5
۲,۵۳۵۵	۱۵۷۵,۷۱۵	۱۵۳۶,۷۵	X6
۱,۹۹۹۲	۱۴۷۱,۱۵۶	۱۵۰۱,۱۶۶۷	X7
۰,۳۲۶۹	۱۵۶۸,۵۰۶	۱۵۷۳,۷۵	X8
۰,۹۳۵۹	۱۵۷۴,۴۳۱	۱۵۵۹,۸۸۳	X9
۰,۵۵۷۷	۱۴۹۱,۴۷۲	۱۴۸۳,۲	X10
۰,۷۷۸۳	۱۵۶۸,۵۵۵	۱۵۹۹	X11
۲,۱۲۵۰	۱۴۹۸,۱۷۴	۱۴۶۷	X12
۰,۶۵۹۳	۱۴۷۶,۷۹۸	۱۴۶۷,۱۲۵	X13
۲,۶۹۱۱	۱۵۷۵,۲۶۸	۱۶۱۸,۸۳۳	X14



شکل ۴ سرعت انتشار امواج فرآوایی طولی در آمیزه‌های لاستیکی.

در کل فرایند آزمایش، منابع ایجاد خطای به دو دسته تقسیم‌بندی می‌شوند. دسته اول ناشی از عدم اختلاط کامل مواد در بنبوری و دسته دوم در اندازه‌گیری ضخامت

بستر بسپاری همگن‌تر باشد، سرعت انتشار امواج درون آن نیز بیش‌تر می‌شود. نتایج به دست آمده از آزمایش نیز گواه همین موضوع است.

استئارات روی جزء فعال کننده‌ها محسوب می‌شود که برای بهینه کردن کارآبی شتاب‌دهنده‌ها به فرمول‌بندی آمیزه‌های لاستیکی افزوده می‌شود. افزودن استئارات روی به فرمول‌بندی آمیزه لاستیکی باعث کاهش سرعت انتشار امواج فرآوایی طولی در آمیزه خواهد گردید.

در مقایسه با کائوچوی بوتادین سیس که تاثیری بر روی سرعت انتشار امواج ندارد، افزایش ضربی وزنی کائوچوی استایرن بوتادین محلولی، کاهش سرعت انتشار امواج طولی را در برخواهد داشت.

الگوی رگرسیون پیشنهادی نشان می‌دهد که استئارات روی بیش‌ترین تأثیر را بر روی سرعت انتشار امواج فرآوایی دارد و با افزودن آن به فرمول‌بندی، سرعت امواج به نحو چشمگیری کاهش می‌یابد. شتاب‌دهنده سولفونامیدی نیز تأثیر بسزایی بر روی سرعت امواج فرآوایی داشته و با افزودن آن سرعت انتشار امواج افزایش می‌یابد. از دیگر موادی که تأثیر قابل ملاحظه‌ای بر روی سرعت می‌گذراند، کائوچوی بوتادین سیس است. مواد سیلان و سیلیکای با قابلیت پخش بالا از نظر کمی تاثیر مشابهی بر روی تغییرات سرعت داشته، با این تفاوت که سیلیکای با قابلیت پخش بالا سرعت را کاهش داده و سیلان سرعت را افزایش می‌دهد.

به منظور اعتبارسنجی<sup>۱</sup> الگوی پیشنهادی آمیزه لاستیکی دیگری با فرمول‌بندی متفاوت (جدول ۶) ساخته شد. سپس سرعت انتشار امواج فرآوایی طولی در آمیزه لاستیکی اندازه‌گیری گردید. مقدار سرعت انتشار امواج فرآوایی طولی به دست آمده از آزمایش و الگوی رگرسیون چندگانه خطی برای نمونه ساخته شده به ترتیب برایر ۱۵۰۰، ۱۵۱۰، ۰۵۳۳ و ۰۵۳۳ متر بر ثانیه می‌باشد. برای نمونه اعتبارسنجی، مقدار خطای ۶۴۸۵ درصد می‌باشد. مقدار خطای کم در تخمین سرعت انتشار امواج فرآوایی طولی نشان از کاربردی بودن روش پیشنهادی برای ارزیابی فرمول‌بندی آمیزه‌های لاستیکی دارد.

بررسی الگوی رگرسیون نشان می‌دهد که شتاب‌دهنده سولفونامیدی دارای بزرگ‌ترین ضربی در معادله است. شتاب‌دهنده سولفونامیدی که شتاب‌دهنده اولیه نیز نامیده می‌شود به منظور کاهش زمان پخت لاستیک به فرمول‌بندی افزوده می‌شود، خواص مکانیکی آمیزه را نیز تحت تاثیر قرار می‌دهد. این شتاب‌دهنده در مقایسه با سایر شتاب‌دهنده‌ها پایداری بیش‌تری به خواص مکانیکی آمیزه لاستیکی می‌بخشد [۱۴]. با افزودن شتاب‌دهنده سولفونامیدی سرعت انتشار امواج فرآوایی طولی، افزایش می‌یابد.

گوگرد از جمله موادی است که در پخت‌های اولیه آمیزه لاستیک استفاده می‌شد. با توجه به این که گوگرد چگالی آمیزه لاستیکی را کاهش می‌دهد و کاهش چگالی نیز سرعت انتشار امواج را کاهش می‌دهد، سرعت انتشار امواج طولی با افزودن گوگرد کاهش یافته است.

هنگامی که از سیلیکا و یا دوده به عنوان پرکننده استفاده می‌شود، سیلان به منظور تقویت به فرمول‌بندی لاستیک اضافه می‌شود. با استفاده از سامانه تقویت کننده دوده/سیلیکا/سیلان دستیابی به توازن مطلوب در خواص لاستیک امکان‌پذیر می‌شود. با افزودن سیلان به فرمول‌بندی آمیزه تایر، سرعت انتشار امواج در آمیزه افزایش می‌یابد.

با توجه به این که به دلیل تفاوت شیمیایی سطح سیلیکا با زمینه لاستیکی، اختلاط مشکل است. در این پژوهش از سیلیکای با قابلیت پخش بالا استفاده گردید، استفاده از سیلیکا برای تقویت کننگی در حال افزایش است ولی اگر از آن به تنها ی استفاده شود که دوده حذف گردد به علت مشکلاتی که در زمینه فراورش و پخت به وجود می‌آورد سبب اختلال در تقویت کننگی می‌شود و به این دلیل در کنار آن از پیونددنده سیلانی استفاده می‌شود [۱۵]. با افزایش مقدار سیلیکای با قابلیت پخش بالا سرعت انتشار امواج افزایش می‌یابد. وجود گروه‌های سیلانول سطح باعث ناسازگاری با بسپار بوده و به همین دلیل با استفاده از عامل اتصال سیلانی و اصلاح سطح سیلیکا و افزایش سازگاری با بستر پلیمر، پخش ارتفاع می‌یابد که افزایش پخش، منجر به اختلاط بیش‌تر ساختار درونی آمیزه گشته و همگنی ساختار بستر بسپاری افزایش می‌یابد هرچه

<sup>1</sup> Validation

از کاربردی بودن روش ارائه شده در بررسی اعتبار فرمول‌بندی آمیزه رویه تایر رادیال سواری دارد.

## ۶. قدردانی

از مسئولان محترم شرکت کویر تایر که همکاری همه جانبه‌ای در این پژوهش، در تهیه نمونه‌ها و انجام آزمایش‌ها به عمل آورده، کمال تشکر و قدردانی می‌شود.

## ۷. فهرست منابع

- [1] V. Rajendran, S. Muthu Kumaran, T. Jayakumar, P. Palanichamy, P. Shankar, B. Raj, "Microstructure and ultrasonic behaviour on thermal heat-treated al-li 8090 alloy," *Journal of Alloys and Compounds*, vol. 478, no. 1-2, pp. 147-153, 2009.
- [2] H. Aksoy, "Broadband ultrasonic spectroscopy for the characterization of viscoelastic," *Ultrasonics*, vol. 67, pp. 168-177, 2016.
- [3] B. Hall, V. John, "Non Destructive Testing," London; Macmillan Education, pp. 63-95, 1988.
- [4] D.J. Hourston, I.D. Hughes, "Dynamic mechanical and sonic velocity behaviour of polystyrene-poly (vinyl methyl ether) blends," *Polymer*, vol. 19, no. 10, pp. 1181-1185, 1978.
- [5] M.A. El-Hadek, "Fracture mechanics of rubber epoxy composites," *Metallurgical and Materials Transactions A*, vol. 45, no. 9, pp. 4046-4054, 2014.
- [6] A.A. Higazy, H. Afifi, A.H. Khafagy, M.A. El-Shahawy, A.M. Mansour, "Ultrasonic studies on polystyrene/styrene butadiene rubber polymer blends filled with glass fiber and talc," *Ultrasonics*, vol. 44, no. 1, pp. 1439-1445, 2006.
- [7] H. Hadjab, A. Arbia, O. Boulekouf, "The use of ultrasonic waves and analytical modeling to estimate elasticity modulus of rubber concrete specimen," *Advanced Structured Materials*, vol. 54, pp. 49-57, 2014.
- [8] H.A. Afifi, A.M. El Sayed, "Ultrasonic properties of enr-epdm rubber blends," *Polymer Bulletin*, vol. 50, no. 1, pp. 115-122, 2003.
- [9] M.H.R. Ghoreishy, S. Taghvaei, R. Zafar Mehrabian, "The effect of silica/carbon black filler systems on the fatigue properties of the tread compound in passenger tires,"

جدول ۶ فرمول‌بندی آمیزه اعتبارسنجی.

ترکیب نمونه	مقدار موجود در ترکیب	مقدار عناصر موجود در ترکیب	مقدار بهنجارشده عناصر
گوگرد معمولی	۶/۲۹	۰,۶۲۷۸	
دوده	۰/۰	۰/۰	
سیلیکا با قابلیت پخش بالا	۳۷۷/۱۳	۰,۸۱۷۶	
سیلان	۳۰/۱۷	۰,۶۵۴۰	
شتاپدهنده سولفونامیدی	۵/۳۶	۰,۸۷۰۱	
کائوچوی بوتا دین سیس	۲۲۶/۲۸	۰,۸۴۹۱	
اکسید روی	۱۸/۹۲	۰,۸۴۹۲	
اسید استغاریک	۶/۲۹	۰,۸۵۰۰	
استثارات روی	۱۳/۲۳	۰,۸۴۹۲	
کائوچوی استایرن بوتا دین محلولی ۱۵۰۰	۵۲۷/۹۸	۰,۶۸۲۴	

## ۵. نتیجه‌گیری

کیفیت تایر تولیدی نقش به سزاگی در سهم بازار شرکت‌های تولیدکننده تایر ایفا می‌کند. کیفیت لاستیک از نظر عموم مردم با توجه به کارکرد و طول عمر آن سنجیده می‌شود، بدین منظور اکثر شرکت‌های تولیدی تلاش دارند تا خواص آمیزه رویه تایر را بهبود بخشدند. در پژوهش حاضر به منظور حفظ کیفیت رویه تایر رادیال سواری، فرمول‌بندی لاستیک مورد بررسی قرار گرفت، تا با الگوی پیش‌بینی شده برای آن، مطابقت داشته باشد، بدین منظور از روش غیر-محرب فرآوایی استفاده گردید. به منظور تعیین ارتباط بین سرعت انتشار امواج فرآوایی طولی و فرمول‌بندی آمیزه‌ها، تعدادی آمیزه لاستیکی با فرمول‌بندی‌های مختلف، تهیه و سرعت امواج فرآوایی طولی در آن‌ها اندازه‌گیری گردید.

نتایج حاصل از الگوی رگرسیون پیاده‌سازی شده، و اعتبارسنجی انجام شده نشان داد، که می‌توان برای بررسی فرمول‌بندی یک آمیزه لاستیکی از سرعت انتشار امواج فرآوایی طولی استفاده نمود. در این پژوهش میانگین خطای داده‌های آزمایش ۱/۲۸۴۰ درصد و برای نمونه اعتبارسنجی شده ۰,۶۴۸۵ درصد به دست آمد، که نشان

- [13] J.P. Charlesworth, J.A.G. Temple, "Engineering Application of Ultrasonic Time-of- Flight Diffraction," Research Studies Press LTD, pp. 75-112, 1989.
- [14] H. Nabil, H. Ismail, A.R. Azura, "Optimisation of accelerators and vulcanising systems on thermal stability of natural rubber/recycled ethylene-propylene-dienemonomer blends," Materials and Design, vol. 53, pp. 651-661, 2014.
- [15] H. Atashi, K. Sobhanmanesh, M. Shiva, "Improvement of physical and mechanical properties of butadiene rubber with silica/silane reinforcement system," Iranian Journal of Polymer Science and Technology, vol. 17, no. 5, pp. 281-290, 2005 (in Persian).
- [10] Iranian Journal of Polymer Science and Technology, vol. 24, no. 4, pp. 329-337, 2011 (in Persian).
- [11] Encyclopedia of tribology, pp. 2620-2644, 2013.
- [12] A.N. Gent, C.T.R. Pulford, "Mechanisms of rubber abrasion," Journal of Applied Polymer Science, vol. 28, pp. 943-960, 1983.
- [13] M. Hamidnia, F. Honarvar, H. Khorsand, "Accurate measurement of mechanical properties of tempered microstructures of aisi d6 alloy steel by ultrasonic nondestructive method," Modares Mechanical Engineering, vol. 12, no. 4, pp. 48-58, 2012 (in Persian).